ДИЗЧИЧИТЬ ППО ТРЕПРИЗПРОТОВЕР ИЧИТОВТРИЗТ БРАВНИТЕР ИЗВЕСТИЯ ЛКАДЕМИИ НАУК АРМЯНСКОЙ ССР

Зիզիկа-ишрыйши, գիшперјатайы XI, № 4, 1958 Физико-математические науки

теория упругости

Б. Л. Абрамян, А. А. Баблоян

К изгибу толстых круглых плит осесимметричной нагрузкой

В настоящей статье рассматривается задача об изгибе круглой толстой плиты произвольной осесимметричной нагрузкой, приложенной к ее основаниям.

Плита предполагается закрепленной так, что одна из окружностей на боковой поверхности или какая-либо точка на оси плиты не имеет осевых перемещений, а вся боковая поверхность не имеет радиальных перемещений [1].

Аналогичного типа задачи были рассмотрены в работах Клеммова [2], А. Надан [3], А. И. Лурье [1, 4], В. К. Прокопова [5] и Л. С. Лейбензона [6].

Задача решается методом Фурье, при этом исходя из основных уравнений теории упругости, без каких-либо допущений.

Рассмотрим круглую толстую плиту (или цилиндр) радиуса R и толщины h. Будем пользоваться цилиндрической системой координат и совместим ось z с осью плиты (фиг. 1).

Известно [7], что решение задачи осесимметричной деформациитела вращения сводится к определению функции напряжений $\Phi\left(r,z\right)$ (r—направление радиуса, z— направление оси вращения), которая в области осевого сечения тела удовлетворяет уравнению

$$\nabla^2 \nabla^2 \Phi = \left(\frac{\partial^2}{\partial r^2} + \frac{1}{r} \frac{\partial}{\partial r} + \frac{\partial^2}{\partial z^2} \right) \left(\frac{\partial^2 \Phi}{\partial r^2} + \frac{1}{r} \frac{\partial \Phi}{\partial r} + \frac{\partial^2 \Phi}{\partial z^2} \right) = 0, \quad (1)$$

а на поверхности тела задается законом распределения напряжений или перемещений.

Напряжения и перемещения при осесимметричной деформации выражаются через функцию напряжений $\Phi(r,z)$ соотношениями

$$\begin{split} &\sigma_r = \frac{\partial}{\partial z} \bigg(\ \nu \nabla^2 \Phi - \frac{\hat{\sigma}^2 \Phi}{\partial r^2} \bigg), \\ &\sigma_{\phi} = \frac{\partial}{\partial z} \bigg(\ \nu \nabla^2 \Phi - \frac{1}{r} \frac{\partial \Phi}{\partial r} \bigg), \end{split}$$

$$\sigma_{z} = \frac{\partial}{\partial z} \left[(2 - v) \nabla^{2} \Phi - \frac{\partial^{2} \Phi}{\partial z^{2}} \right],$$

$$\tau_{rz} = \frac{\partial}{\partial r} \left[(1 - v) \nabla^{2} \Phi - \frac{\partial^{2} \Phi}{\partial z^{2}} \right],$$

$$u_{r} = -\frac{1}{2\mu} \frac{\partial^{2} \Phi}{\partial r \partial z},$$

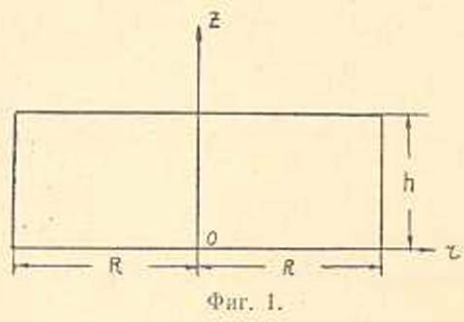
$$u_{z} = \frac{1}{2\mu} \left[2 (1 - v) \nabla^{2} \Phi - \frac{\partial^{2} \Phi}{\partial z^{2}} \right],$$
(2)

где р - модуль сдвига, а у - коэффициент Пуассона.

Решая уравнение (1) методом Фурье для круглого сплощного цилиндра, функцию $\Phi(r, z)$ получим в виде [8, 9]

$$\Phi(r, z) = z (Ar^{2} + Bz^{2} + Cz) + \sum_{k=1}^{\infty} [E_{k}I_{0}(\lambda_{k}r) + G_{k}\lambda_{k}rI_{1}(\lambda_{k}r)] \sin \lambda_{k}z + \sum_{k=1}^{\infty} (A_{k}\sin \mu_{k}z + G_{k}\mu_{k}z + G_{k}\mu_{k}z \sin \mu_{k}z + G_{k}\mu_$$

где $J_t(x)$ — функция Бесселя i-го порядка первого рода с действительным аргументом, $I_t(z)$ — функция Бесселя первого рода от мин-



мого аргумента [10], $\lambda_k = \frac{k\pi}{\hbar}$. а μ_k — корни уравнения

$$J_1(xR) = 0.$$
 (4)

Рассмотрим напряженное состояние круглого цилиндра при следующих граничных условиях

$$u_{r}(R, z) = f_{1}(z) = \frac{g_{0}}{2} + \sum_{k=1}^{\infty} g_{k} \cos \lambda_{k} z$$

$$\tau_{rz}(R, z) = f_{2}(z) = \sum_{k=1}^{\infty} q_{k} \sin \lambda_{k} z$$

$$\sigma_{z}(r, 0) = f_{3}(r) = a_{0} + \sum_{k=1}^{\infty} a_{k} J_{0}(\mu_{k} r)$$

$$\tau_{rz}(r, 0) = f_{4}(r) = \sum_{k=1}^{\infty} c_{k} J_{1}(\mu_{k} r)$$

$$(0 < r < R)$$

$$(0 < r < R)$$

$$\sigma_{x}(r, h) = f_{5}(r) = b_{0} + \sum_{k=1}^{\infty} b_{k} J_{0}(\mu_{k} r)$$

$$\tau_{rx}(r, h) = f_{6}(r) = \sum_{k=1}^{\infty} d_{k} J_{1}(\mu_{k} r)$$

Здесь мы допускаем, что функции $\{f_i\}$ кусочно-непрерывны и имеют ограниченное изменение в соответствующих интервалах. В силу симметричного распределения внешней нагрузки относительно оси z имеем также

$$z_{rz}(0, z) = u_r(0, z) = 0.$$
 (6)

Условиями (6) и (5) полностью определяются все напряжения и перемещение u_r . Перемещение же u_z определяется с точностью до постоянной C. Для определения последней предполагаем, что перемещения u_z на окружности $r=R,\ z=0$ боковой поверхности цилиндра равны нулю

$$u_{\varepsilon}(R, 0) = 0.$$
 (7)

Вычислив по формулам (2) с помощью (3) напряжения и перемещения, получим

$$\sigma_{r}(r,z) = -2(1-2v)A + 6vB - \sum_{k=1}^{\infty} i_{k}^{3} \cos i_{k}z \left\{ [E_{k} + (1-2v)G_{k}]I_{0}(\lambda_{k}r) - E_{k} \frac{I_{1}(\lambda_{k}r)}{\lambda_{k}r} + G_{k}\lambda_{k}rI_{1}(\lambda_{k}r) \right\} + \\
+ \sum_{k=1}^{\infty} \mu_{k}^{3}J_{0}(\mu_{k}r)([A_{k} + (1+2v)D_{k}] \cosh \mu_{k}z + [B_{k} + (1+2v)G_{k}] \sinh \mu_{k}z + \\
+ C_{k}\mu_{k}z \cosh \mu_{k}z + D_{k}\mu_{k}z \sinh \mu_{k}z \right\} - \sum_{k=1}^{\infty} \mu_{k}^{2} \frac{J_{1}(\mu_{k}r)}{r} \left\{ (A_{k} + D_{k}) \cosh \mu_{k}z + \\
+ (B_{k} + G_{k}) \sinh \mu_{k}z + C_{k}\mu_{k}z \cosh \mu_{k}z + D_{k}\mu_{k}z \sinh \mu_{k}z \right\}, \quad (8)$$

$$\sigma_{z}(r,z) = 4(2-v)A + 6(1-v)B + \sum_{k=1}^{\infty} \lambda_{k}^{3} \cos \lambda_{k}z \left\{ [E_{k} + (1+2v)G_{k}] I_{0}(\lambda_{k}r) + G_{k}\lambda_{k}rI_{1}(\lambda_{k}r) \right\} + \sum_{k=1}^{\infty} \mu_{k}^{3}J_{0}(\mu_{k}r) \left\{ [D_{k}(1-2v) - A_{k}] \cosh \mu_{k}z + [C_{k}(1-2v) - B_{k}] \sinh \mu_{k}z - D_{k}\mu_{k}z \sinh \mu_{k}z - C_{k}\mu_{k}z \cosh \mu_{k}z \right\}, \quad (9)$$

7 Известня АН, серня физ.мат. наук, № 4

$$\tau_{rz}(r,z) = \sum_{k=1}^{\infty} \lambda_{k}^{3} \sin \lambda_{k} z \left\{ \left[E_{k} + 2 \left(1 - v \right) G_{k} \right] I_{1} \left(\lambda_{k} r \right) + \right. \\ \left. + G_{k} \lambda_{k} r I_{0} \left(\lambda_{k} r \right) \right\} + \sum_{k=1}^{\infty} \mu_{k}^{3} J_{1} \left(\mu_{k} r \right) \left\{ \left(A_{k} + 2 v D_{k} \right) \sinh \mu_{k} z + \right. \\ \left. + \left(B_{k} + 2 v C_{k} \right) \cosh \mu_{k} z + C_{k} \mu_{k} z \sinh \mu_{k} z + D_{k} \mu_{k} z \cosh \mu_{k} z \right\}, \qquad (10)$$

$$u_{r}(r,z) = -\frac{1}{2\mu} \left\{ 2 A r + \sum_{k=1}^{\infty} \lambda_{k}^{2} \cos \lambda_{k} z \left[E_{k} I_{1} \left(\lambda_{k} r \right) + \right. \right. \\ \left. + G_{k} \lambda_{k} r I_{0} \left(\lambda_{k} r \right) \right] - \sum_{k=1}^{\infty} \mu_{k}^{2} J_{1} \left(\mu_{k} r \right) \left[\left(A_{k} + D_{k} \right) \cosh \mu_{k} z + \right. \\ \left. + \left(B_{k} + C_{k} \right) \sinh \mu_{k} z + C_{k} \mu_{k} z^{2} \cosh \mu_{k} z + D_{k} \mu_{k} z \sinh \mu_{k} z \right\} \right\}$$

$$u_{z}(r,z) = \frac{1}{2\mu} \left\{ \left[8 \left(1 - v \right) A + 6 \left(1 - 2 v \right) B \right] z + 2 \left(1 - 2 v \right) C + \right. \\ \left. + \sum_{k=1}^{\infty} \lambda_{k}^{2} \sin \lambda_{k} z \left[\left[E_{k} + 4 \left(1 - v \right) G_{k} \right] I_{0} \left(\lambda_{k} r \right) + G_{k} \lambda_{k} r I_{1} \left(\lambda_{k} r \right) \right] + \right. \\ \left. + \sum_{k=1}^{\infty} \mu_{k}^{2} J_{0} \left(\mu_{k} r \right) \left[\left[2 \left(1 - 2 v \right) D_{k} - A_{k} \right] \sinh \mu_{k} z + \right. \right. \\ \left. + \left[2 \left(1 - 2 v \right) C_{k} - B_{k} \right] \cosh \mu_{k} z - C_{k} \mu_{k} z \sinh \mu_{k} z - D_{k} \mu_{v} z \cosh \mu_{k} z \right] \right\}.$$

$$(12)$$

Легко видеть, что условия (6)- удовлетворяются тождественно. Удовлетворив же условиям (5) и (7), для определения постоянных интегрирования, входящих в выражение (3), получаем ряд соотношений.

При получении этих соотношений пользуемся разложениями Фурье-Дини [11] функций $I_0(\lambda_k r)$ и $rI_1(\lambda_k r)$ по функциям $\{J_0(\mu_k r)\}$ [8], где μ_k — корни уравнения (4).

Из указанных обоих соотношений для постоянных интегрирования получаем следующие значения

$$A = -\frac{\mu g_0}{2R}, \qquad (13)$$

$$B = \frac{1}{6(1-v)} \left[a_0 + \frac{2(2-v)\mu g_0}{R} - \frac{2}{R} \sum_{k=1}^{\infty} \frac{q_k}{\lambda_k} \right], \quad (14)$$

$$C = -\frac{1-\nu}{1-2\nu}\sum_{k=1}^{\infty}\frac{J_0\left(\mu_kR\right)}{1-\beta_k^2}\left\{N_k\left(\beta_k\cosh\mu_kh+\coth\mu_kh\right)-\right\}$$

$$-M_{k}\left(\operatorname{sch}\mu_{k}h + \beta_{k}\operatorname{cth}\mu_{k}h\right) + \frac{d_{k}\beta_{k}}{\mu_{k}} + \frac{c_{k}}{2\mu_{k}\left(1-\nu\right)}\left(1-2\nu+\beta_{k}^{2}\right), \tag{15}$$

$$G_k = \frac{q_k + 2\mu \lambda_k g_k}{2(1 - \nu)\lambda_k^3 I_1(\lambda_k R)}.$$
 (16)

$$E_{k} = -\frac{1}{\lambda_{k}^{2} I_{1}(\lambda_{k} R)} \left[2\mu g_{k} - \frac{(q_{k} + 2\mu \lambda_{k} g_{k}) R I_{0}(\lambda_{k} R)}{2(1 - \nu) I_{1}(\lambda_{k} R)} \right], \tag{17}$$

$$D_k = \frac{1}{\mu_k^2 (1 - \beta_k^2)} \left[M_k \beta_k - N_k + \frac{c_k}{\mu_k} \left(\beta_k \cosh \mu_k h - \coth \mu_k h \right) - \right]$$

$$-\frac{d_k}{\mu_k} (\beta_k \coth \mu_k h - \cosh \mu_k h) \bigg], \tag{18}$$

$$C_k = rac{1}{\mu_k^2 \left(1 - eta_k^2
ight)} \left[N_k \left(eta_k \cosh \mu_k h + \coth \mu_k h
ight) -
ight.$$

$$-M_k\left(\cosh\mu_k h + \beta_k \coth\mu_k h\right) + \frac{c_k}{\mu_k} + \frac{d_k \beta_k}{\mu_k}\right], \tag{19}$$

$$A_k = \frac{N_k}{\mu_k^2} + (1 - 2v) D_k, \tag{20}$$

$$B_k = \frac{c_k}{\mu_k^3} - 2\nu C_k, \qquad (21)$$

тде введены следующие обозначения

$$\beta_k = \mu_k h \cosh \mu_k h \tag{22}$$

$$N_k = -\frac{a_k}{\mu_k} + \frac{2}{\mu_k R J_0(\mu_k R)} \sum_{p=1}^{\infty} \frac{\lambda_p q_p}{\lambda_p^2 + \mu_k^2} +$$

$$+\frac{2\mu_k}{(1-\nu)RJ_\phi(\mu_k R)}\sum_{p=1}^{\infty}\frac{\lambda_p(q_p+2\mu\lambda_p g_p)}{(\lambda_p^2+\mu_k^2)^2},$$
 (23)

$$M_k = -\frac{b_k}{\mu_k} + \frac{2}{\mu_k R J_0 (\mu_k R)} \sum_{p=1}^{\infty} \frac{(-1)^p \lambda_p q_p}{\lambda_p^2 + \mu_k^2} +$$

$$+\frac{2\mu_{k}}{(1-\gamma)}\sum_{RJ_{0}}^{\infty}\frac{(-1)^{p}\lambda_{p}\left(q_{p}+2\mu\lambda_{p}g_{p}\right)}{(\lambda_{p}^{2}+\mu_{k}^{2})^{2}}.$$
 (24)

Из упомянутых выше соотношений получается также следующее раменство

$$a_0 - b_0 = \frac{4}{R} \sum_{k=1,3}^{\infty} \frac{q_k}{\lambda_k}$$
 (25)

которое является уравнением равновесия сил, действующих вдоль оси плиты.

Подставляя найденные значения постоянных интегрирования из (13)—(21) в (8)—(12), получим формулы для определения напряжений и перемещений.

В качестве примера рассмотрим случай, когда плита изгибается нормальной нагрузкой, приложенной осесимметрично к верхнему ее основанию, при отсутствии радиальных перемещений на всей боковой поверхности и осевых перемещений на средней окружности $\left(r=R\right)$ втой поверхности, то-есть: когда граничные условия за-

даны соотношениями

$$u_{r}(R, z) = f_{1}(z) = 0;$$

$$\tau_{rz}(R, z) = f_{2}(z) = a(z - h)z;$$

$$z_{z}(r, 0) = f_{3}(r) = 0;$$

$$\tau_{rz}(r, 0) = f_{4}(r) = 0;$$

$$\tau_{z}(r, h) = f_{5}(r) = \begin{cases} -q & r < z \\ 0 & r > z \end{cases}$$

$$\tau_{rz}(r, h) = f_{6}(r) = 0;$$

$$u_{r}(R, \frac{h}{2}) = 0$$
(26)

где постоянная величина

$$a = -\frac{3q\epsilon^2}{Rh^3}$$
(27)

определяется из условия равновесия (25).

При таких условиях имеем

$$a_k = c_k = d_R = g_k = 0,$$
 (28)
 $b_q = -\frac{Q}{\pi R^2},$ $b_k = -\frac{2QJ_1(\mu_k \epsilon)}{\pi R^2 J_0^2(\mu_k R) \epsilon \mu_k},$ $q_k = \frac{12Q}{\pi D h^4 \lambda^3} [1 + (-1)^{k+1}],$

где введено обозначение

$$Q = q\pi\epsilon^{z}$$
. (30)

При $\varepsilon \to 0$ имеем $\lim_{\varepsilon \to 0} q\pi \varepsilon^2 = Q_0$, что имеет место, когда плита изгибается сосредоточенной силой Q_0 , приложенной в центре ее верхнего основания. Пользуясь значениями (28) и (29), для неизвестных постоянных получим следующие значения

$$A = 0,$$

$$B = -\frac{Q}{12(1-\gamma)\pi R^2},$$

$$C = \frac{Qh}{8(1-\gamma)\pi R^2} - \frac{24Q}{(1-2\gamma)\pi Rh^4} \sum_{k=1,3,...}^{\infty} \frac{(-1)^{\frac{k-1}{2}} I_0(\lambda_k R)}{\lambda_k^k I_1(\lambda_k R)} +$$

$$+ \frac{6Q}{(1-\gamma)(1-2\gamma)\pi h^4} \sum_{n=1,3,...}^{\infty} \frac{(-1)^{\frac{k-1}{2}}}{\lambda_k^3} \left[\frac{I_0^2(\lambda_k R)}{I_1^2(\lambda_k R)} - 1 \right] +$$

$$+ \frac{1}{2} \sum_{k=1}^{\infty} \frac{J_0(\mu_k R)(b_k + 2N_k^*)}{\mu_k (1-\beta_k)} \left[(1-\gamma)\cosh\frac{\mu_k h}{2} + \frac{1}{4}\mu_k h \sinh\frac{\mu_k h}{2} \right],$$

$$G_k = \frac{12Q}{\pi Rh^4 \lambda_k^6 (1-\gamma) I_1(\lambda_k R)},$$

$$E_k = -\frac{\lambda_k R I_0(\lambda_k R)}{I_1(\lambda_k R)} G_k,$$

$$C_k = \frac{2QJ_1(\mu_k z)(\beta_k \coth\mu_k h + \cosh\mu_k h)}{\pi R^2(1-\beta_k^2)} \frac{N_k^* \coth\frac{\mu_k h}{2}}{\mu_k^2 I_0^2(\mu_k R)} + \frac{N_k^* \coth\frac{\mu_k h}{2}}{\mu_k^3 (1-\beta_k)},$$

$$D_k = \frac{2Q\beta_k J_1(\mu_k z)}{\pi R^2 (1-\beta_k^2)} \frac{N_k^*}{\mu_k^2 I_0^2(\mu_k R)} \frac{N_k^*}{\mu_k^3 (1-\beta_k)},$$

$$A_k = \frac{N_k^*}{\mu_k^3} + (1-2\gamma)D_k,$$

$$B_k = -2\gamma C_k,$$

$$(31)$$

где использованы обозначения (22), (30), а также

$$N_{k}^{s} = \frac{6Q}{\pi R^{2}h^{2}(1-v)\mu_{k}^{2}J_{0}(\mu_{k}R)} \left[(1-v)\left(1-\frac{2 \tan \frac{\mu_{k}h}{2}}{\mu_{k}h}\right) + \left[1-\frac{\tan \frac{\mu_{k}h}{2}}{\mu_{k}h}(3-\beta_{k}) \right] \right]. \tag{33}$$

Подставляя эти значения в выражения (8) и (12), для определения нормального напряжения з, и осевого перемещения из получим следующие фирмулы

$$\begin{split} z_r(r,z) &= -\frac{Q^{\vee}}{2\pi R^2(1-\nu)} - \frac{12Q}{\pi R^2h^4(1-\nu)} \sum_{k=1,3,...}^{\infty} \frac{\cos \lambda_k z}{\lambda_k^2 I_1(\lambda_k R)} \left\{ \lambda_k r I_1(\lambda_k r) + \frac{RI_1(\lambda_k r) I_0(\lambda_k R)}{rI_1(\lambda_k R)} + \frac{RI_1(\lambda_k r) I_0(\lambda_k R)}{rI_1(\lambda_k R)} + \frac{1}{I_1(\lambda_k R)} + \frac{I_1(\lambda_k R)}{I_1(\lambda_k R)} \right] I_0(\lambda_k r) \right\} + \\ &+ \sum_{k=1}^{\infty} \frac{J_0(\mu_k r)}{(1-\beta_k^2) \sinh \mu_k h} \left\{ b_k \left[\sin \mu_k z - \mu_k (h-z) \cosh \mu_k z + \frac{1}{2} + \frac{1}{2} \mu_k r \cosh \mu_k (h-z) \right] + N_k^2 \left[(1+\beta_k) \sinh \mu_k z - \sin \mu_k (h-z) + \frac{1}{2} + \frac{1}{2} \mu_k r \cosh \mu_k (h-z) + \frac{1}{2} + \frac{1}{2} \mu_k r \cosh \mu_k (h-z) + \frac{1}{2} \mu_k r \cosh \mu_k$$

Некоторые значения напряжения z_r и перемещения u_z , вычисленные по формулам (34) и (35) для различных точек плиты, при v = 0,3, в зависимости от отношений $\frac{z}{R}$ и $\frac{h}{R}$ приведены в габлицах 1 и 2

T			

	-		Таолица	
	h	$\frac{\epsilon}{R}$		
	R	1	1/2	
#2 (0, 0) K ₃	1 1/3 1/4	-0,324 -6,996 -21,322	-0,583 -19,388	
$u_x\left(0, \frac{h}{2}\right)$ K_1	1/3	-0,387 -7,918	-0,787 -19,450	
$\frac{u_2(0, h)}{K_1}$	1 1/3 1/4	-0,467 -8,425 -21,465	-1,242 -21,172	
$\frac{u_z\left(R,\;0\right)}{K_1}$	1/3	$^{-0.033}_{+0.327}$	-0.085 +0.106	
$\frac{u_2(R, h)}{K_1}$	1/3	-0,176 -1,102	-0,294 -1,149	

Таблица 2

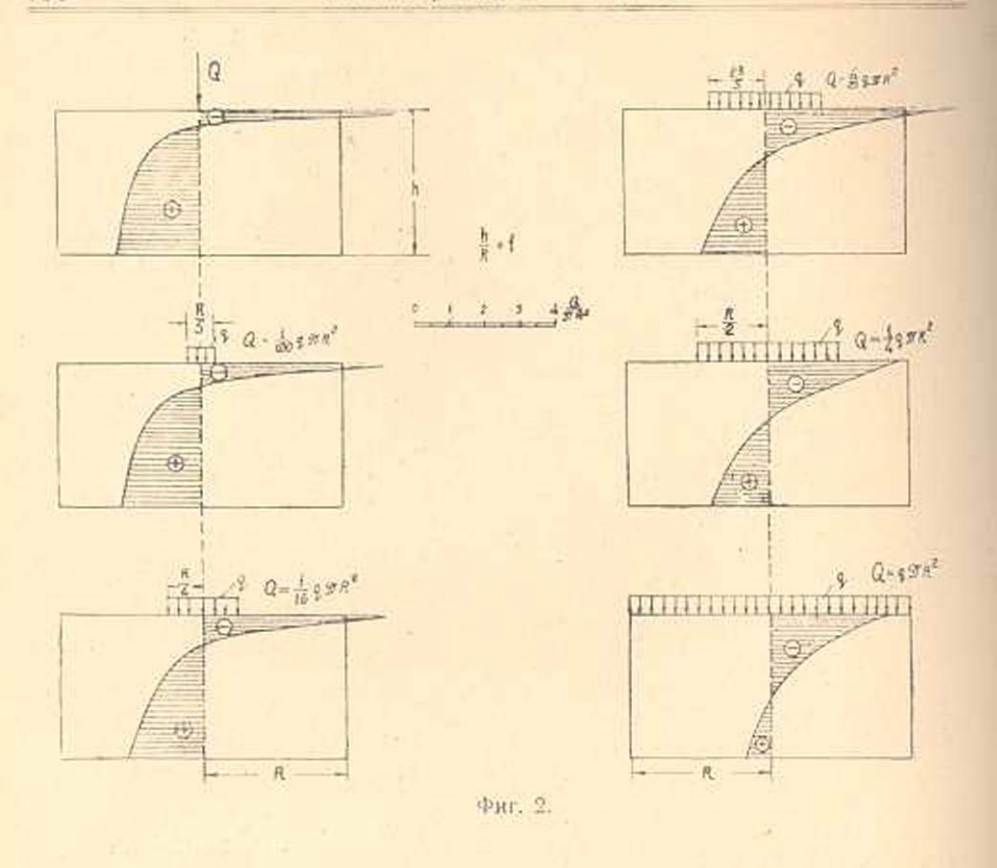
	h R	i R						
		1	1/2	2/5	1/4	1,10	1/20	0
σ _r (0, 0) Κ	1 1/3	0,760 3,504	1,602 13,730	1,817 17,070	2,105 24,783	2,290 28,105	2,319 37,178	2,329 38,024
$r\left(0, \frac{h}{2}\right)$ K	1/3	-0,214 -0,214	0,449 0,459	0,750 1,211	1,327 3,532	1,865 13,555	1,964 18,830	1,999 21,379
$\frac{\tau_r(0, h)}{K}$	1/3	-3,589 -3,943	-3,727 -12,859	-5,556 $-17,912$	-13,392 -29,524	-80,614 -99,698	-320,617 -340,202	

В таблицах 1 и 2 перемещения u_z приведены в долях $K_t = \frac{qh}{\mu}\left(\frac{\varepsilon}{R}\right)^2 = \frac{Qh}{\pi R^2\mu}$ в напряжения z_t — в долях $K = q\left(\frac{\varepsilon}{R}\right)^2 = \frac{Q}{\pi R^2}$

При вычислениях было использовано значение ряда

$$\sum_{k=1}^{\infty} \frac{J_1(\mu_k \epsilon)}{\mu_k J_0^2(\mu_k R)} = \frac{\epsilon}{2} \left(\frac{R^{\epsilon}}{\epsilon^{\frac{\epsilon}{2}}} - 1 \right), \quad \text{rae} \quad 0 \le \epsilon \le R. \quad (36)$$

Для наглядного представления закона распределения нормальных напряжений э, вдоль оси плиты на фигурах 2 и 3 приведены эпюры этих напряжений. Следует отметить, что приведенные эпюры составлены приближенно: на основании расчетов, произведенных голько для трех точек оси.



6. L. Ա.բրահամյան, Ա. Ա. Բաբլոյան

ԱՌԱՆՑՔԻ ՆԿԱՏՄԱՄԲ ՍԻՄԵՏՐԻԿ ԲԵՌՈՎ ZÜUS ԿԼՈՐ ՍԱԼԵՐԻ ԾՌՄԱՆ ՄԱՍԻՆ

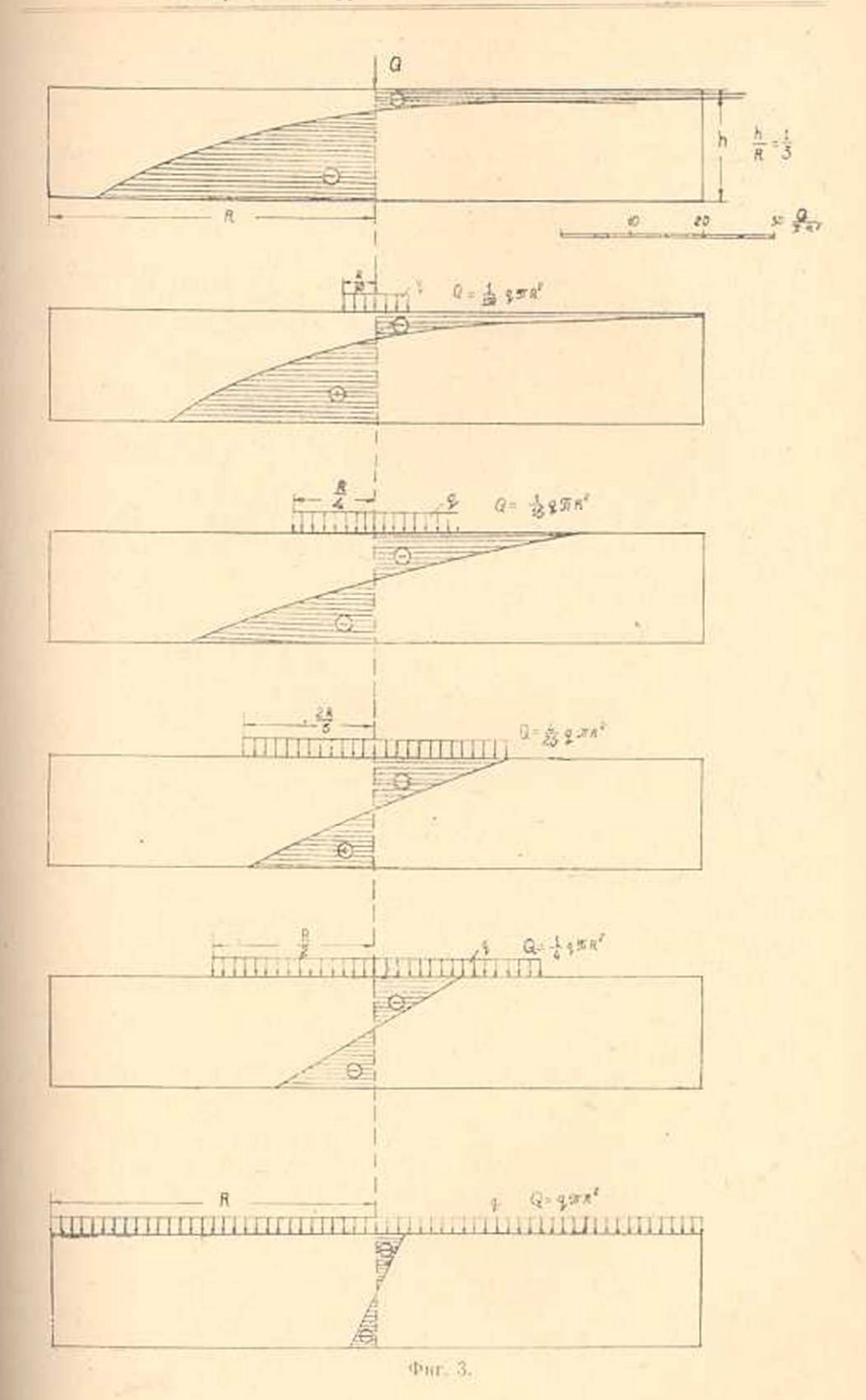
ILIFORDON

Հողմածում դիտարկվում է առանցջի նկատմամբ սիմեարիկ բեռով հաստ կլոր սալերի ծոման իւնդիրը, երբ բեռը կամավոր ձևով կիրառված է սալի Տիմջերին։

Մալը հնքադրվում է տմրացված ալնպես, որ նրա կողմնալին մակերևույթի մի շրջանագծի վրա կամ առանցքի մի որևէ կհտում բացակալում են առանցքի ուղղությամբ տեղափոխումները, իսկ ամրողջ կողմնային մակերևույթի վրա չկան տեղափոխումներ չառավզի ուղղությամբ։

Նահան ինարիբներ գիտարկված են եղել Կլեմանովի [2], Նադաիի [3], Ա. Լուբյեի [1, 4], Վ. Պրոկոպովի [5] և Լ. Լեյբենդոնի [6] աջիստատիկյաններում։

Ալս աշխատունվան մեջ բերված խնդիրը լուծվում է Ֆուրլեի հղանակով, առաձգականունկան տեսունկան հինհական հավասարուններից հվնելով, առաջց որևէ կինհմատիկական հիպոների։



ЛИТЕРАТУРА-

- Лурье А. И. К теории толстых плит. ПММ, том VI, вып. 2—3, 1942, стр. 151— 163.
- Clammow C. A. Flexure of Thick Circular Plates. Proceedings of the Royal Society of London, Ser. 'A', Vol. 112, p. 559, 1926.
- 3 Nadai A. Elastische Platten, Berlin, 1925.
- Лурье А. И. Пространственные задачи теории упругости, Гостехиздат. М., 1955. стр. 218—230.
- Прокопов В. К. Чагиб круглой плиты осесимметричной нагрузкой. ПММ, том XIV, вып. 5, 1950, стр. 527—536.
- Лейбензон Л. С. К теории безбалочных покрытий. Собрание трудов, том 1, изд. АН СССР, 1951, стр. 100—148.
- 7. Тимошенко С. П. Теория упругости. ОНТИ. М., 1937.
- Абрамян Б. Л. К задаче осесимметричной деформации круглого цилиндра. ДАН АрмССР, том XIX. № 1, 1954, стр. 3—12,
- Абрамян Б. Л. Некоторые задачи равновесны круглого цилиндра. ДАН АрмССР. том XXVI. № 2, 1958, стр. 65—72.
- Грей Э., Мэтьюз Г. Функцин Бесселя и их приложения к физикс и механике. Госиноиздат, М., 1949.
- Ватсон Г. И. Теория бесселеных функций. Госиноиздат. часть 1, М., 1949, стр. 655.